

FIG. 1

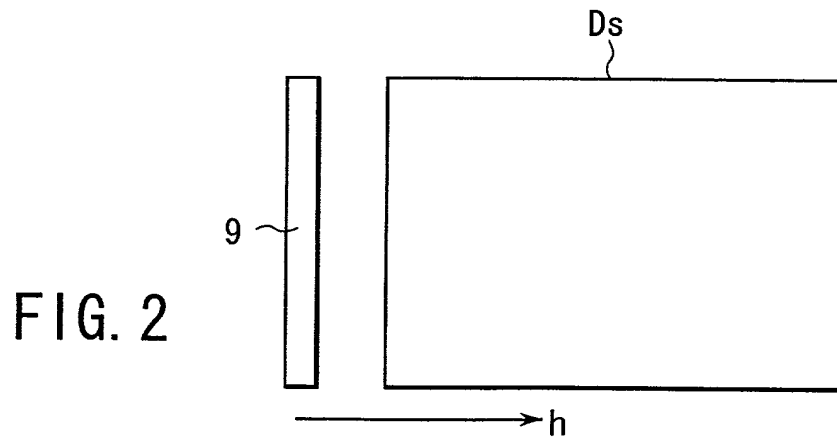


FIG. 2

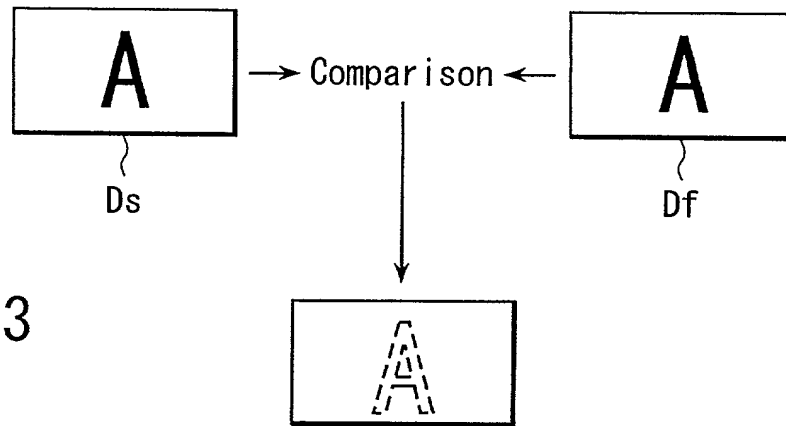


FIG. 3

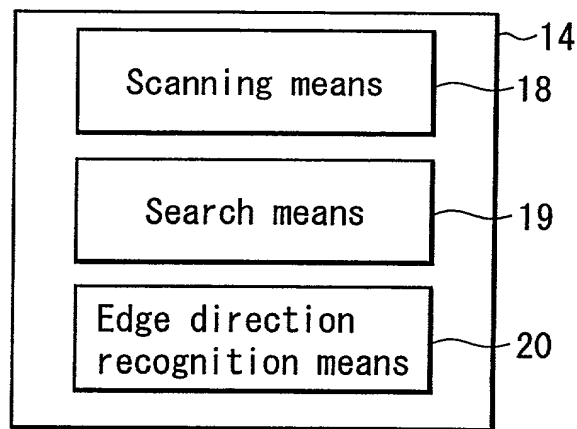


FIG. 4

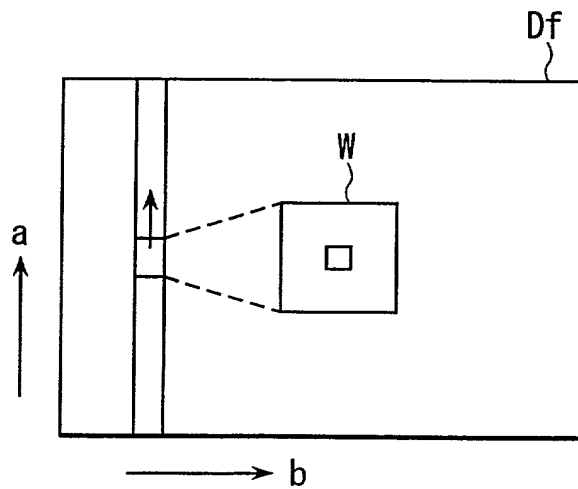


FIG. 5

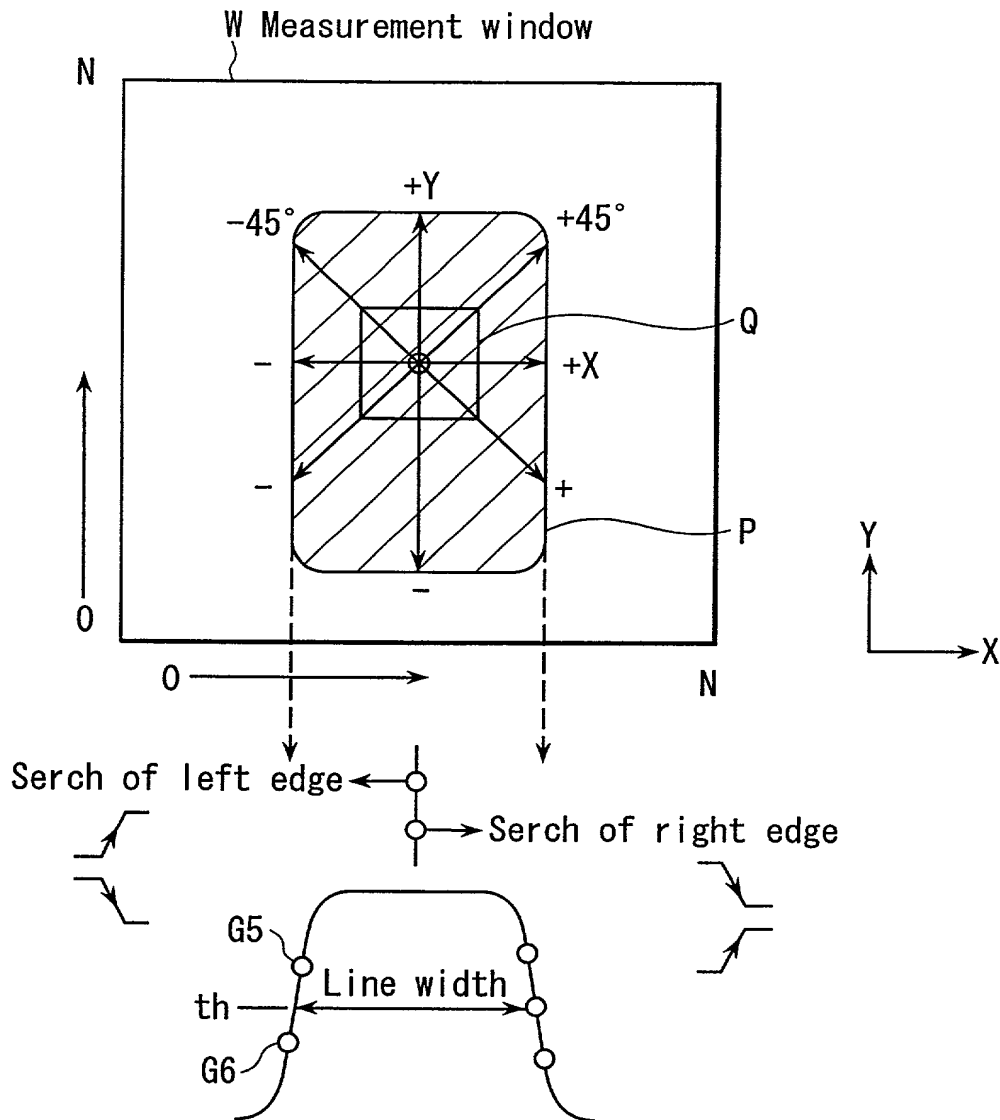


FIG. 6

Detection of edge direction

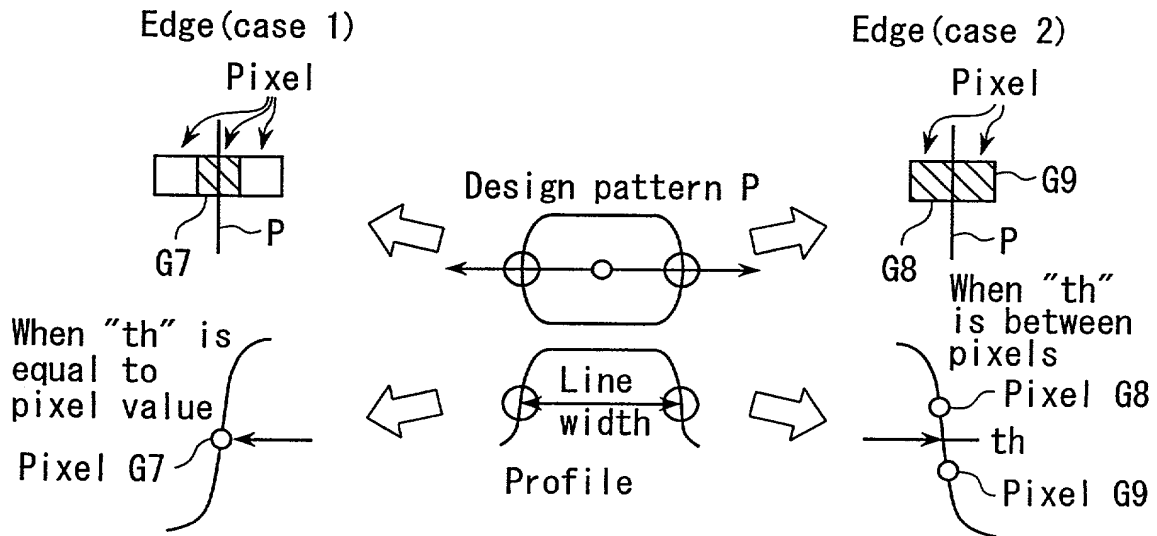
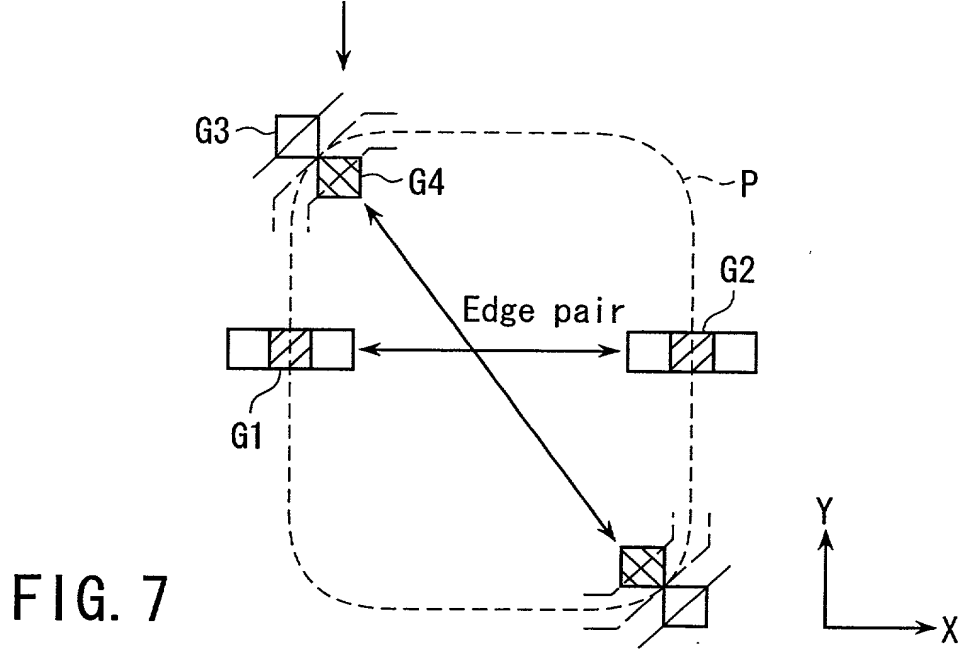


FIG. 9

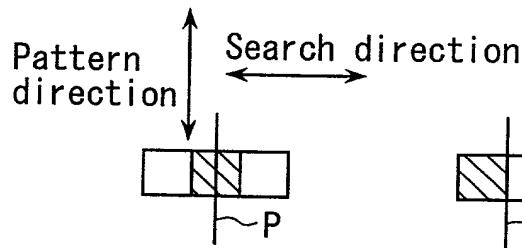
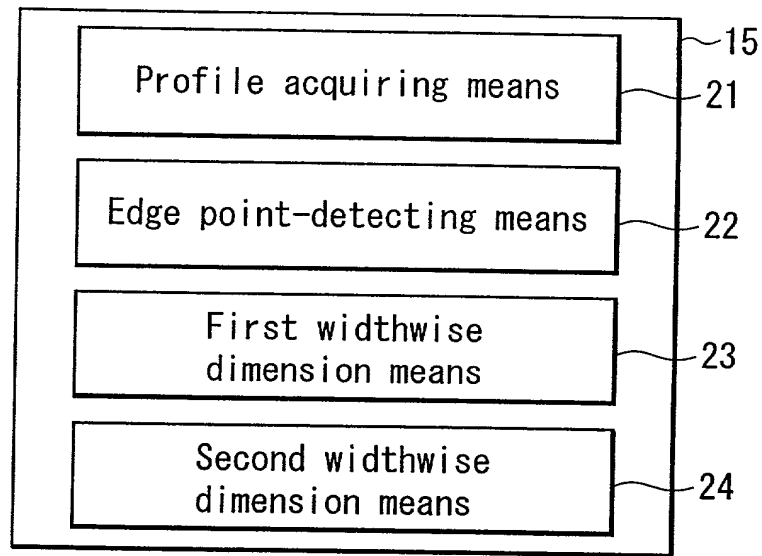


FIG. 10A

FIG. 10B

FIG. 10C

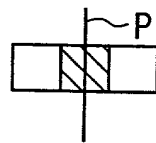


FIG. 11A

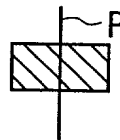


FIG. 11B

d&e&f

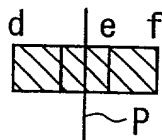


FIG. 12A

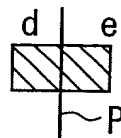


FIG. 12B

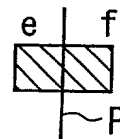


FIG. 12C

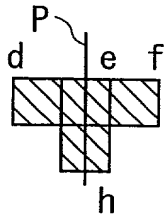


FIG. 13A

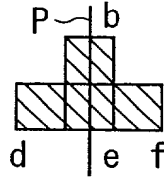


FIG. 13B

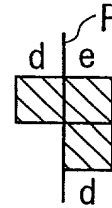


FIG. 13C

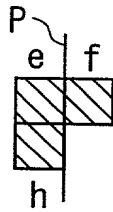


FIG. 13D

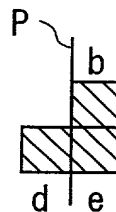


FIG. 13E

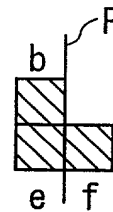


FIG. 13F

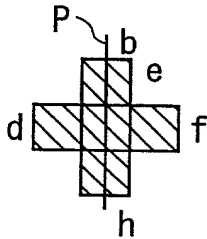


FIG. 14A

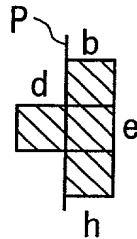


FIG. 14B

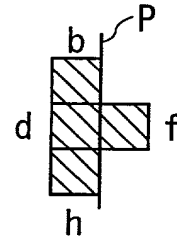


FIG. 14C

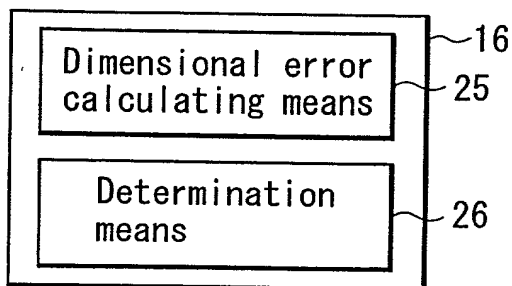


FIG. 15

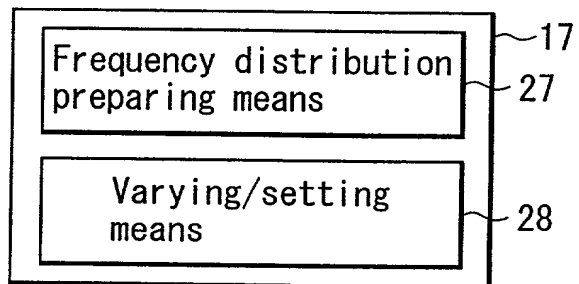


FIG. 16

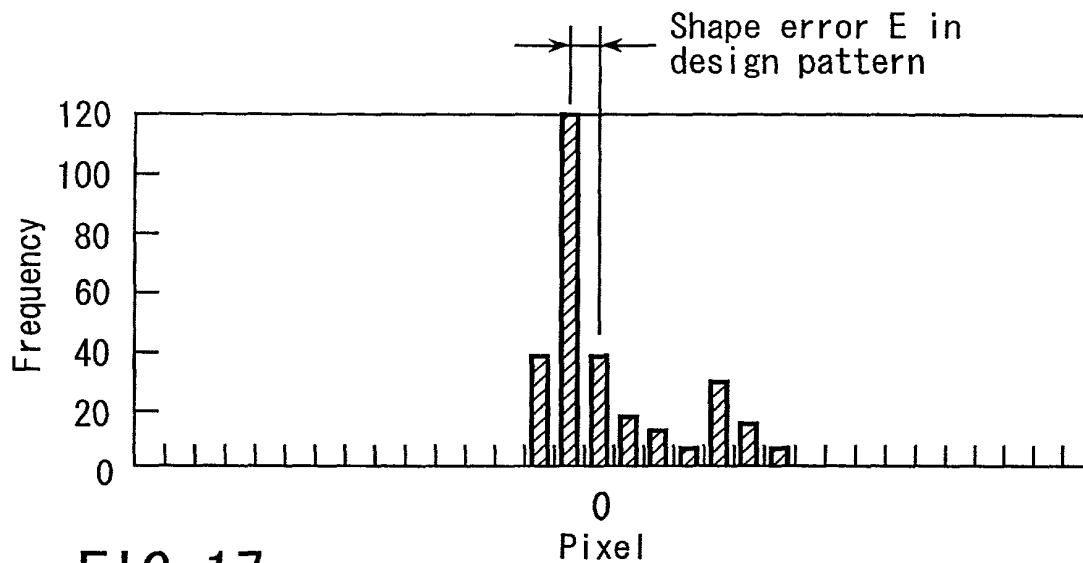


FIG. 17

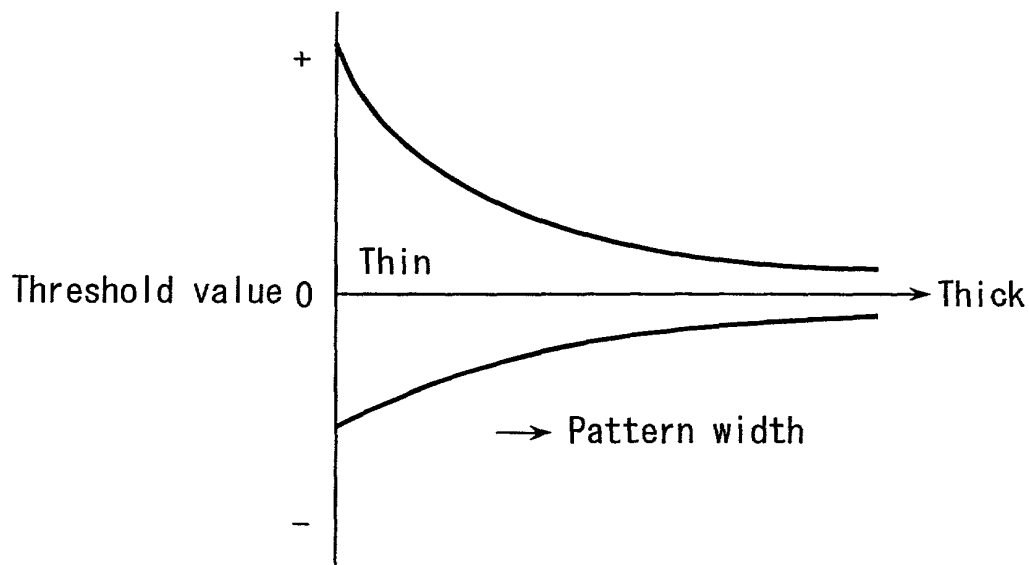


FIG. 18

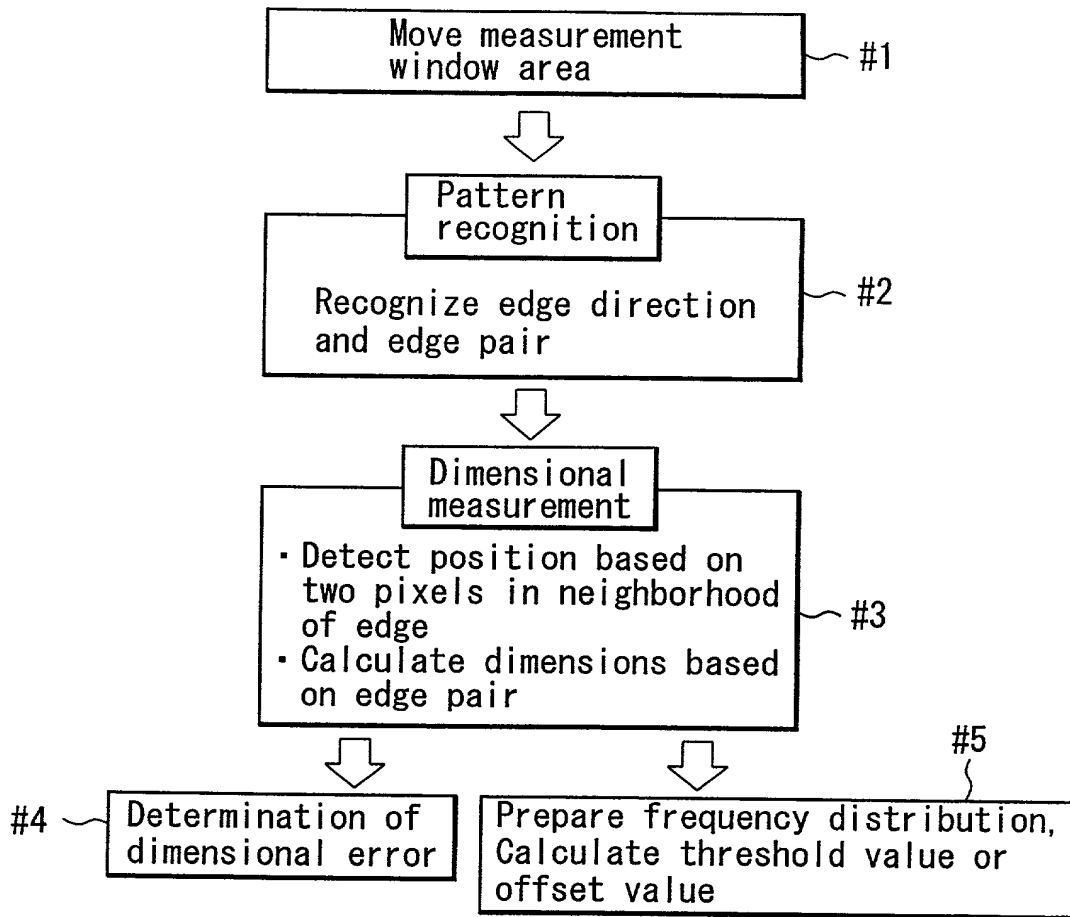


FIG. 19

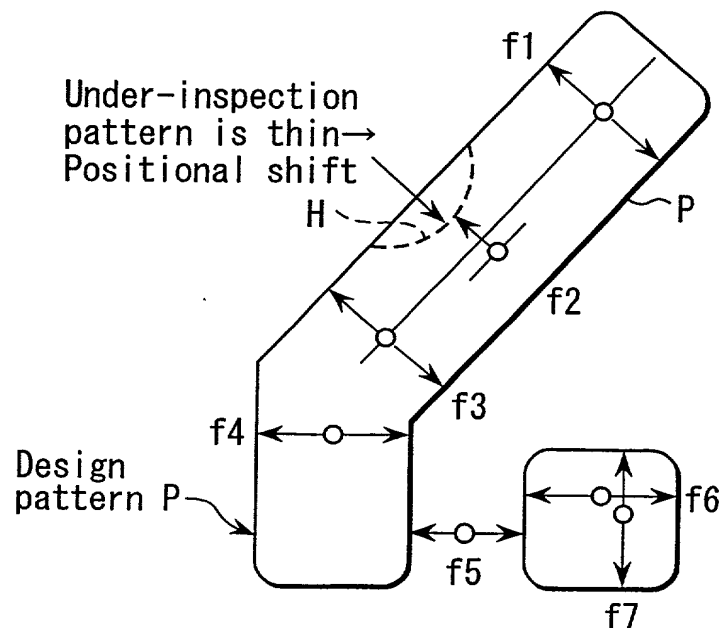


FIG. 20

FIG. 21

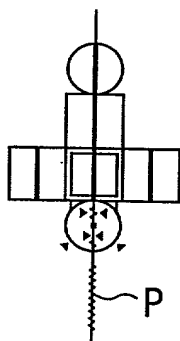
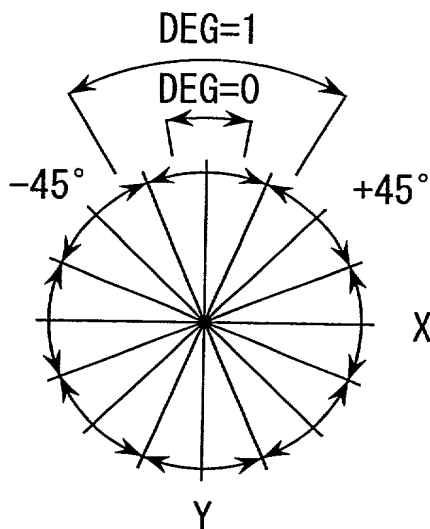


FIG. 22A

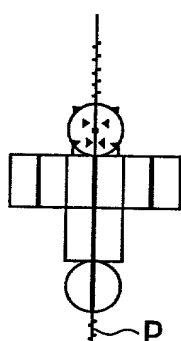


FIG. 22B

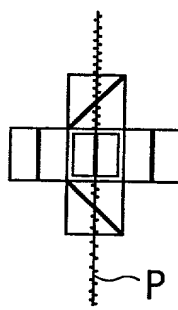


FIG. 22C

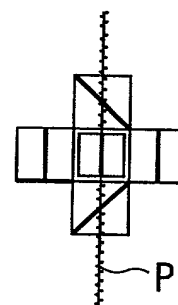


FIG. 22D

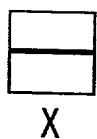


FIG. 23A

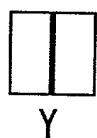


FIG. 23B



FIG. 23C

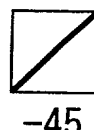


FIG. 23D



FIG. 23E



FIG. 23F



FIG. 23G



FIG. 23H



FIG. 23I

+22.5

+67.5

-67.5

-22.5

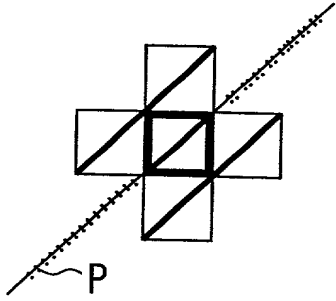


FIG. 24A

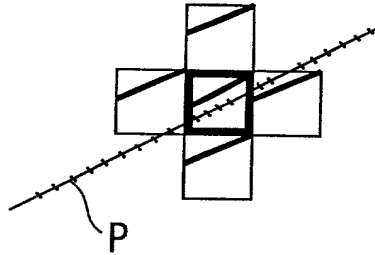


FIG. 24B

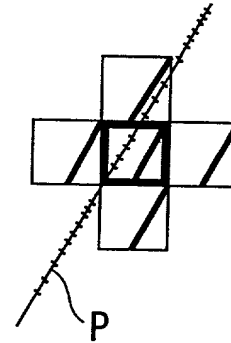


FIG. 24C

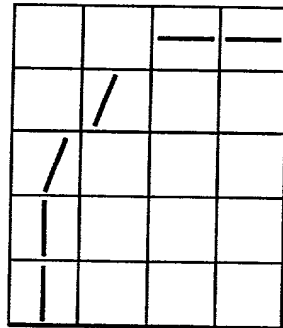


FIG. 25